АСТРОФИЗИКА

TOM 18

- 95

АВГУСТ, 1982

выпуск з

YAK 524.3--85

МОЛЕКУЛЯРНЫЕ ПОЛОСЫ ПОГЛОЩЕНИЯ В ИК-СПЕКТРАХ М-ГИГАНТОВ

В. З. АВЕТИСЯН, Ю. К. МЕЛИК-АЛАВЕРДЯН
Поступила 8 октября 1981
Принята к печати 3 мая 1982

Приводятся результаты инфракрасных наблюдений гигантов класса М. Полученные данные указывают на наличие в ИК-спектрах исследованных змеса, абсорбций, обусловленных ивличнем молекул Н₂О и СО во внешних слоях атмосфер этих звесат или, возможно, в их оболочках. Оцениваются параметры этих оболочек и рассматрипается зависимость полученных значений параметров от периодов и фазы изменения блеска.

Холодные гиганты относятся к одному из наиболее интересных классов звезд. С их изучением связано много проблем [1], не нашедших до сих пор своего решения.

С появлением приемников инфракрасного излучения холодные гиганты стали интененно исследоваться в инфракрасном диапазоне. Оказалось, что часть наблюдавшихся в инфракрасном диапазоне звезд имеет избыточное инфракрасное излучение, обусловлениое, вероятно, пылевыми
оболочками. Спектральные инфракрасные наблюдения холодных гигантоя
показали наличие в их спектрах колебательно-вращательных абсорбционных полос молекул, в частности, молекул Н₂О и СО [2, 3]. По-видимому,
наблюдения молекулярных полос дают нам сведения о наиболее внешних
областях протяженных атмосфер втих звезд. А эти данные необходимыдля понимания структуры атмосфер красных гигантов, объяснения причин потеой ими массы и образования оболочек.

Исходя из этого, в Бюраканской астрофизической обсерватории АН Арм.ССР, начиная с 1978 г., ведутся систематические инфракрасные наблюдения красных гигантов. Наблюдения проводятся с помощью изготовленного в ГАО АН СССР инфракрасного фотометра, установлениого на телескопе ЭТА-2.6 м. Детектором инфракрасного излучения в этом фотометре является охлаждаемое углекислотой фотосопротивление PbS. Фотометр снабжен 10-ю интерференционными фильтрами, характеристики которых приводятся в табл. 1.

Для калибровки фотометра в качестве стандартов использовались звезды в Суд, з Агі, β Сет, & Vir. Так как мы не располагали данными наблюдений указанных стандартов в области пропускания наших фильтров, то для обработки данных пришлось воспользоваться интерполяцией результатов [4]. Поэтому наша калибровка носит условный характер.

ПАРАМЕТРЫ ИСПОЛЬЗОВАННЫХ ФИЛЬТРОВ

Таблица 1

-										
λ мим										
ЗА мим								0.05		
=0.0	24	42	62	57	34	52	58	62	62	68
						_				

Программа наблюдений приводится в табл. 2. В этой же таблице приводится воздушная масса в момент наблюдения. Редукция наблюдаемым потоков за избирательность поглощения в атмосфере выполнялась путем учета поправок за различие воздушных масс исследуемой звезды и звезды-стандарта. Избирательное поглощение на единицу воздушной массы принималось согласно [5]. Хотя мы не проверяли применимость данных [5] для наших условий наблюдений, однако можно надеяться, что возможная ошибка здесь будет невелика, так как стандарты и исследуемые звезды наблюдались при достаточно близких воздушных массах, и поправки не превышали нескольких сотых звездной величины.

 \mathcal{A} ля наблюдавшихся звезд мы вычислили наблюдаемые цвета $[\iota]$ — [1.54] по формуле:

$$[\lambda] = [1.54] = -2.5 \lg \frac{F_{\lambda}}{F_{1.54}} + C_{\lambda}, \tag{1}$$

тде F_{λ} — наблюдаемые потоки, исправленные за атмосферное поглощение. C_{\cdot} — определенные по наблюдениям стандартов калибровочные ковффициенты. Полученные таким образом цвета мы исправили за межзвездное поглощение, расстояния оценивались по модулю расстояния, причем абсолютные звездные величины были взяты из [5], видимые — из [6]. В высоких галактических широтах (|b| > 8) межзвездное поглощение в внзуальных лучах принималось $0.^{m}3$ на кпс [5], а для $|b| < 8^{c}$ использовались соответствующие значения из [7]. Для пересчета визуального поглощения на длину волны λ принималось, что $A_{\cdot} \sim 1/\lambda$.

Исправленные таким образом за межзвездное поглощение цвета [1] —[1.54] наблюдавшихся нами звезд и сравнение атих цветов с соответствующими цветами, полученными широкополосной фотометрией [8] холодных гигантов, приводятся на рис. 1.

Tabinua 2

_				_			1 dovinge E
No	Знозда	Дата (JD)	Воздушная масса	No	Звезда	Дата (JD)	Воздушная мясса
1	T Cep	2443767	1.18	23	RS Vir	2444002	2.00
2	W Cyg	43772	1.08	24	T UM1	44003	1.19
3	R Ari	43772	1.06	25	RS Vir	44003	1.27
4	R Del	43774	1.18	26	Y Lyb	44003	1.47
5	T And	43774	1.05	27	S Ser	44003	1.24
6	T Cep	43775	1.27	28	X CrB	44003	1.10
7	R Ari	43797	1.24	29	U Ser	44004	1.24
8	R Leo	43948	1.21	30	S Lib	44004	2.13
9	W Cyg	43948	1.74	31	RY Oph	44004	1.33
10	R Cnc	43949	1,62	32	U Her	44005	1.14
11	R Vir	43949	1.21	33	RY Oph	44005	1.33
12	R CVn	43949	1.00	34	R Aql	44064	1.18
13	S UMi	43949	1.29	35	2 Oph	44065	1.29
14	S GrB	43949	1.06	36	T And	44127	1.09
15	W Cnc	43574	1.27	37	W Cyg	44130	1.04
16	S LMi	43974	2.21	38	T Cep	44130	1.22
17	RU UMa	43974	1.10	39	R Ari	44130	1.06
18	U Vir	43974	1.56	40	W Cyg	44145	1.27
19	S Vir	33974	1.89	41	W Cyg	44149	1.07
20	T Vir	43980	1.49	42	W Cyg	44179	1.08
21	R Hya	43980	2.28	43	R Ari	44179	1.04
22	RT Lyb	43980	2.00				

Наиболее характерными особенностями полученных спектров холодных гигантов является наличие абсорбции H₂O на 1.98 мкм и CO на 2.39 мкм. Наличие этих деталей в инфракрасных спектрах холодных звезд неоднократно отмечалось и ранее [2, 3]. В настоящей работе мы попытаемся, не ограничиваясь констатацией факта наличия втих абсорбционных деталей в спектре исследуемых звезд, выполнить и количественный анализ этих спектров.

Прежде всего, оценим обусловленное молекулами H₂O и CO ослабление интенсивности инфракрасного излучения исследованных звезд. Для оценки молекулярных абсорбций можно использовать, например, величины $\Delta m_{\rm CO}$ и $\Delta m_{\rm H_2O}$, определяемые нижеследующими выражениями:

$$\Delta m_{\rm CO} = \{[2.39] - [1.54]\} - \{[2.23] - [1.54]\} - \{[2.39] - [2.23]\}_{\rm 0}$$
 (2)

$$\Delta m_{\rm H,O} = |[1.98] - [1.54]| - \frac{\{[1.72] - [1.54]| + |[2.23] - [1.54]\}}{2}$$
(3)

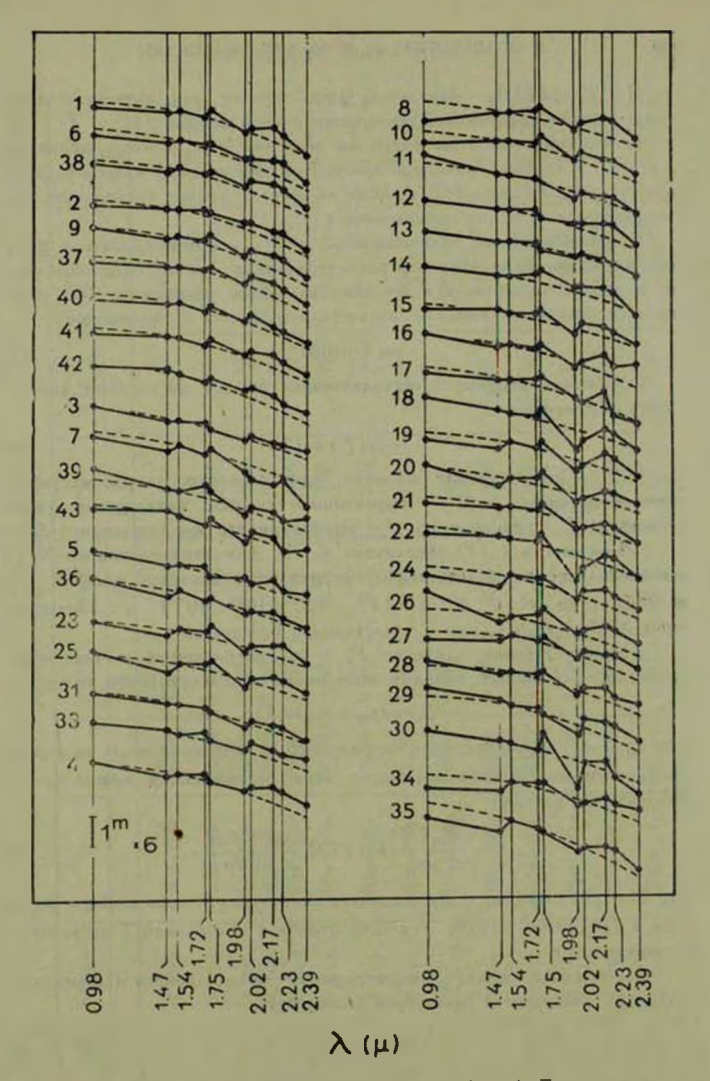


Рис. 1. Цвета ([/] — [1.54] исследованных звезд (точки). Прерывистые линиц показывают цвета черного тела с температурой, равной эффективной температуре дви ной звезды.

где ([2.39]—[2.23]), — показатель цвета черного тела, имеющего температуру, равную аффективной температуре данной звезды.

Рассчитанные по этим формулам ливчения $\Delta m_{\rm CO}$ и $\Delta m_{\rm H_{2}O}$ приводится в табл. 3. В этой же таблице приводятся спектральные классы исследованных звезд, согласно [6], а также их фазы в момент наблюдения, рассчитанные для периодов, приведенных в табл. [6].

С другой стороны, величины $\Delta m_{\rm CO}$ и $\Delta m_{\rm H,O}$ можно связать с физическими параметрами атмосфер рассматриваемых звезд. Действительно, как известно, выраженное в звездных величинах уменьшение Δm интесивности излучения связано с оптической толщиной \bar{z} соотношением:

$$\Delta m = 1.086 \, \tau,$$
 (4)

Оптическая толщина т, обусловленная только молекулами, определяется выражением:

$$z = N(T) k_{\bullet}(T) l_{\bullet} \tag{5}$$

где N(T) — концентрация молекул, ответственных за рассматриваемую экстинкцию, $k_*(T)$ — эффективное сечение поглощения одной молекулы, T — температура, I — протяженность поглощающего слоя.

Зависимость k, (T) рассчитана в [9]. Для определения же N(T) мы воспользуемся расчетами [10] парциальных давлений молскул CO и H_2O (для $H:C:N:O=1:5\times 10^{-4}:10^{-4}:10^{-3}$) и соотношением $N(T)=P_M/kT$, где k постоянная Больцмана.

Полное газовое давление P_{ε} в рассматриваемых звездах определяется, в основном, вкладом атомарного и молекулярного ведорода:

$$P_{\rm f} = (n_{\rm H} + n_{\rm H_1}) k T_{\rm r} \tag{6}$$

где $n_{\rm H}$ и $n_{\rm H}$ — концентрации атомарного и молекулярного водорода соответственно. Воспользовавшись этим соотношением, можно преобразовать (5) к виду:

$$z = \frac{P_M(T)}{P_x m_H} k_x(T) M \frac{n_H + n_{H_x}}{n_H + 2n_{H_x}},$$
 (7)

где $M=m_{\rm H}I\,(n_{\rm H}+2n_{\rm H_0})$ представляет собой практически полную массу газа в сдиничном столбе (то есть столбе с основанием $1~{\rm cm}^2)$ поглощающего слоя.

Соотношение между концентрациями молекулярного и атомарного водорода определяется уравнением диссоциации:

$$\frac{n_{\rm H}^2}{n_{\rm H_2}} = \frac{k_\mu(T)}{kT} \tag{8}$$

где k (T) — постоянная диссоциации, рассчитанная в [10].

РЕЗУЛЬТАТЫ ИЗМЕРЕНИЙ

No	Звозда	Sp	P	Фаза	7mH*O	7 ^m CO
1	2	3	4	5	6	7
1	Т Сөр	M5e — M9e	387.79	0.024	0.24	0.37
2	W Cyg	M4e M6e	130.85	0.023	0.13	0.20
3	R Arī	M3e-M4c	186.80	0.051	0.20	-0.03
4	R Del	M5e-M6e	280.19	0.976	0.26	0.07
5	T And	M3e M4e	284.88	0.132	0.04	-0.09
6	Т Сер	M5e - M9e	387.79	0.045	0_21	0.23
7	R Arī	M3e-M4e	186.80	0.185	0_18	0.70
8	R Leo	M6.5e-M9e	312.57	0.144	0.40	0,24
9	W Cyg	M4e - M6e	130.85	0.368	0.29	0.23
10	R Cnc	M6e - M8e	361.69	0.190	0.33	0.17
11	R Vir	M3.5e-M8e	145.51	0.190	0.32	0.25
12	R CVn	M6e-M8e	327.97	0.178	0.24	0.34
13	S UMi	M7e - M9e	326.19	0.143	0.16	0.21
14	S CrB	Mõe — Mõe	360.68	0,143	0.12	0.44

$1g\frac{\Delta m_{CO}}{\Delta m_{H_iO}}$	T (K)	M r/cm²
8	9	10
0.19	2710 +70	2.8+0.2
0.19	2710 170	1 5 + 0.3
0.15	2690	-
-0.56	< 2660	>0.5
-	-	-
0.04	2670 180	1.8+0.4
0.59	2800 ⁺⁸⁰ ₋₆₀	4.9+0.2
-0.22	2560 120	2-1-0.3
-0.10	2620_120 _230	$1.9^{+0.5}_{-0.2}$
- 0.29	2540 * 140	1.5 0.2
-0.11	2610 ⁺¹⁰⁰ 180	$2.1_{-0.2}^{+0.4}$
0.15	2700 + 80	2 6 + 0.2
0.12	2690 + 120 220	$1.6^{+0.4}_{-0.1}$
0.56	2790 + 170 + 200	$3.1^{+0.5}_{-0.2}$

1	2	3	4	5	6	7
15	W Cne	M7e - M8e	393.26	0.191	0.36	0.18
16	S LMi	M4e M5e	233.91	0.333	0.40	-0.38
17	RU UMa	M3e M5e	252.44	0.306	0.06	0.04
18	U Vir	M2eM5.5e	206.84	0.218	0.91	0.34
19	S Vir	M6c-M7c	377.88	0.990	0.63	0.30
20	T Vir	M6c	339.24	0.995	0.53	0.06
21	R Hya	M6e M8e	388.00	0.075	0.34	0.26
22	RT I.yb	M3e-M5.5e	251.74	0.979	0.98	0.46
23	RT Vir	M6a - M7c	352.80	0.079	0.54	0.31
24	T UMi	M5.5e	313.58	0.220	0.42	0.18
25	RS Vir	M6e -M7e	352.80	0.082	0.57	0.19
26	Y Lyh	M5e	274.74	0.044	0.40	0.00
27	S Ser	MSo - MGe	368.59	0.283	0.34	0.01
28	X CrB	M5e-M7e	240.82	0.267	0.35	-0.05
29	U Ser	M4e - M6e	237.80	0.032	0.54	0.03
30	S Lib	M2e	192.37	0.066	0.83	0.32
31	RY Oph	M3e M6e	150.53	0.997	0.36	0.17

8	9	10
0.30	2530 ^{÷ 140}	1.6_0.2
-	-	-
-	-	-
-0.43	2440 + 110	3.4_0.4
-0.32	2530 + 50	2.7_0.1
-0.94	2440	>0.6
-0.12	2610 ⁺¹⁰⁰	2.2 ^{+0.4} -0.3
-0.33	2530 ⁺⁵⁰	4.1+0.7
-0.24	2560 80	2.7+0.6
-0.36	2500+130	1.7_0.2
-0.48	2390 - 190	2.0_0.4
	<: 23 90	_
-1.53	< 2510	>0.1
-	-	-
-1.25	-	_
-0.41	2470 ⁺⁹⁰	3_1_0.4
-0.33	2530+130	1.5_0.2

В. Э. АВЕТИСЯН, Ю. К. МЕЛИК-АЛАВЕРДЯН

1	2	3	4	5	6
32	U Her	M6.5e M8e	405.40	0.750	0.73
33	RY Oph	M3e-M6e	150.53	0.003	0.32
34	R Aql	M5e M8e	293.00	0.744	0.48
35	Z Oph	M4e M5.5e	349.10	0.146	0.44
36	T And	M3o M4e	284.88	0.391	0,16
37	W Cyg	M4n M6e	130.85	0.759	0.22
38	Т Сер	M5e - M9e	387.79	0.960	0.17
39	R Ari	M3e-M4e	186,80	0.968	0.51
40	W Cyg	M4e-M6e	130,85	0.874	0.06
41	W Cyg	M4e-M6e	130.85	0.904	0.11
42	W Cyg	M4e-M6e	130.85	0.132	-0.03
43	R Ari	M3c - M6e	186.80	0.230	0.23

Таблица 3 (окончание)

7	8	9	10
0.30	-0.38	2480+100	2-9-0.3
-0.08	_	_	_
-0.22	-	-	-
0.31	-0.25	2560+120	2.7+0.3
0.01	-2.00	< 2730	>0.1
0.04	- 0.74	< 2680	>0.3
0.24	0.15	2700 - 110 - 140	1.8+0.3
-0.33	_	100	-
-0.01	_	-	-
0.02	-0.74	< 2890	>0.1
-0.19	-		-
-0.30	-	-	-

Воспользовавшись (6) и (8), преобразуем (7) следующим образом:

$$\tau = \frac{P_M(T)}{P_g m_W} k.(T) M \frac{1}{2 - \frac{k_g(T)}{2P_g} \left(\sqrt{1 + \frac{4P_g}{k_g(T)}} - 1 \right)}.$$
 (9)

Соотношение (9), строго говоря, можно применить лишь дли предельно малого увеличения τ в шаровом слое, имеющем температуру T газовое давление P и содержащем массу M в столбе с единичным основанием. Очевидно, что, располагая моделями атмосфер рассматриваемым знезд, можно рассчитать τ . Однако, поскольку у нас иет уверенности в пряменимости имеющихся моделей к областям, ответственным за образование можекулярных подос поглощения, мы поступим иначе. А именно, предположим, что наблюдаемые в спектрах исследованных звезд полосы поглощения молекул H.О и CO возникают в одних и τ ехе областях с фиксированными для данной звезды значениями T и P_{π} . Более того, поскольку τ гораздо сильнее зависит от T, чем от P_{π} , будем пренебрегать зависимостью τ от P_{π} , полагая, например, что $P_{\pi}=10^{\circ}$ для рассматринаемых здесь звезд.

Конечно, такие предположения являются весьма грубыми. Особенно большие сомнения вызывает предположение, что области, ответстиенные за возникновение полос поглощения как моледул Н.О. так и молекул СО, характеризуются одной и тои же для данной внезды температурой. Только в том случае, когда поглощающий молекулярный слой представляет собой тонкую, достаточно однородную по своим свойствам оболочку, это предположение будет оправдано. Ниже мы будем рассматривать именно атог случай.

Итак, мы приняли $\tau = F(T) M.$ Следовательно, определив из наблюдений значения τ и рассчитав F(T), мы сможем определить для каждой звезды значения M. Расчет зависимости F(T) не представляет трудностей; соответствующие кривые для молекул CO и H_2O , полученные с помощью данных $\{9,\ 10\}$, приводятся на рис. 2. Температуру T для каждой звезды можем определить, заметив, что отношение $\Delta m_{CO} \Delta m_{H,O}$ при слеманых предположениях зависит только от T. Рассчитанная нами зависимость $\Delta m_{CO}/\Delta m_{H,O}$ от T (сплошная кривая) приводится на рис. 3. С другой стороны, мы имеем (см. табл. 3) наблюдаемые значения отношения $\Delta m_{CO}/\Delta m_{H,O}$. Сравнивая эти данные с приведенной на рис. 3 зависимостью, мы определили значения T. которые приводятся в табл. 3. Вычислены также интервалы значений T, соответствующие среднеквадратичной ошибке наших наблюдательных данных (в некоторых случаях наши данные позволяют оценить лишь верхний предел T).

Представляется интересным сравнить эти значения T с аффективными температурами соответствующих звезд. С этой целью мы приводим на рис. 3 диаграмму $\Delta m_{\rm CO}/\Delta m_{\rm Ho}$ — эффективные температуры всех исследо-

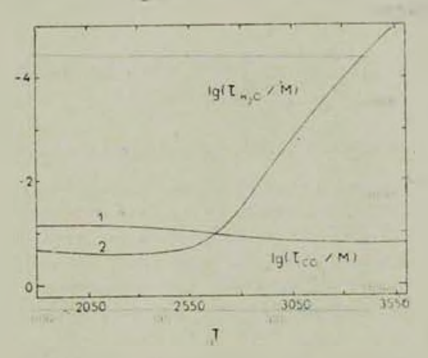


Рис. 2. Зависимость о М и тыо М от температуры (привые. 1 и 2 соответственно).

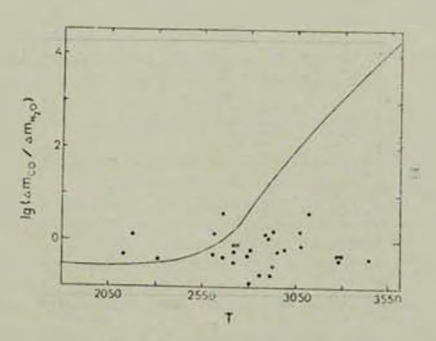


Рис. 3. Зависимость $\Delta m_{\rm CO}/\Delta m_{\rm H,O}$ от температуры (яривая) и наблюдатмые чивчения $\Delta m_{\rm CO}/\Delta m_{\rm H,O}$ (точки), показвиные против вффективных температур соответствующих звезд.

ванных эвезд. Напомним, что приведенная на атом рисунке кривая показывает зависимость между T и $\Delta m_{\rm CO}/\Delta m_{\rm H,O}$. Сравнение атой рассчитанной зависимости с наблюдательными данными показывает, что аффективных температуры большинства исследованных звезд существенно выше, чем температуры T областей, ответственных за поглощение в молекулярных

полосах. Особенно велико различие в T и T_{\star} для звезд U Ser, RT Lib, U Vir, RY Oph. Для некоторых из исследованных звезд, как например, S UMi, W Cnc, U Her, температуры T оказались выше эффективных температур.

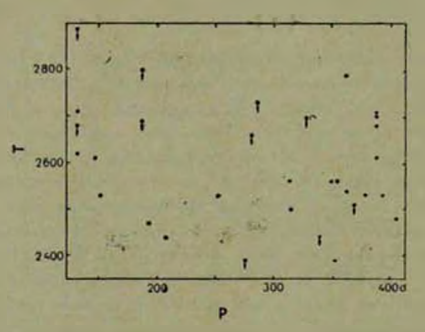


Рис. 4. Диаграмма T - P для исследованных знежд.

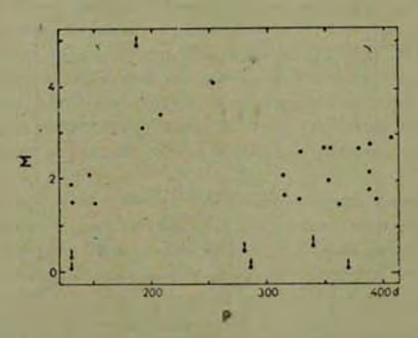


Рис. 5. Днаграмма M-P для исследованных ввезд.

Зная температуры T, мы можем теперь с помощью (9) найти массы вещества, содержащегося в единичном столбе поглощающего в молекуляр ных полосах слоя. Полученные значения M, а также доверительные интервалы соответствующих значений приводятся в табл. 3. На рис. 4 и $\dot{\mathfrak{I}}$ значения M и T сопоставлены с периодами P изменения блеска соответствующих эвеэд. Видна некоторая тенденция к увеличению T с увеличением P

для долгопериодических звезд с P>200 дней. Имеются также некоторые указания на изменение T с фазой, например, у звезд T Сер и W Cyg.

Бюраканская астрофизическая обсерватория

MOLECULAR ABSORPTION BANDS IN IR SPECTRA OF M GIANTS

V. Z. AVETISSIAN, Yu. K. MELIK-ALAVERDIAN

The results of observations of M-type giants are given. The obtained data indicate the presence of absorption in the infrared spectra of the observed stars. The absorption is caused by molecules H₂O and CO which exist in the outer layers of stellar atmospheres or in their envelopes. The parameters of the envelopes are estimated. The dependence of their values upon periods and phases of luminosity changes is considered.

AHTEPATYPA

- P. W. Merril, Spectra of Long-Period Variable Stars, Chicago, University of Chicago Press, 1940.
- 2. D. Mc. Cammon, G. Munch, G. Nougebauer, Ap. J., 147, 575, 1967.
- R. I. Thompson, H. W. Schnopper, R. I. Mitchell, H. L. Johnson, Ap. J., 158. L117, 1969.
- 4. R. G. Walker, Philosophical Transactions R. S. of London, Ser. A. No. 1150, 264, p. 209.
- 5. G. W. Allen, Astrophysical Quantities, The Athlone Press, London, 1973.
- B. V. Kukarkin, P. N. Kholopov, Yu. P. Pskovsky, Yu. N. Efremov, N. P. Kukarkina, N. E. Kurochkin, G. I. Medvedeva, N. B. Perova, V. P. Fedorovich, M. S. Frolov, General Catalogue of Variable Stars, Moscow, 1971,
- 7. Th. Neckel, G. Klare, Astron. Astrophys., 42, 251, 1980.
- 8. H. L. Johnson, Ann. Rev. Astron. Astrophys., 4, 193, 1966.
- 9. T. Taujt, P. A. S. Japan, 18, 127, 1966.
- 10. T. Tauit, Ann. Tokyo Astron. Obs. Second Ser., 9, No. 1, 1964.